Տեխնիկական գիտութ, սեշիա

XXX, Aº 4, 1977

Серия технических паук

МАШИНОСТРОЕНИЕ

К Х ШАХБАЗЯН, Д А ТЖАГАЦПАЦЯН, Г С. ХУДОЯН

К СИНТЕЗУ МЕХАПИЗМОВ НА ОСНОВЕ ОПРЕДЕЛЕННЫХ СООТВЕТСТВИИ МЕЖДУ ПУЧКАМИ, СООТВЕТСТВЕННЫЕ ПРЯМЫЕ КОТОРЫХ ОБРАЗУЮТ ПОСТОЯННЫЙ УГОЛ

В работе [1] дан метел синтеза направляющих механизмов на однове определенных соответствий между двумя илоскими пучками, соответственные прямые которых нарадледльны. В данной статье дается метод синтеза точных механизмов для воспроизпедения кривых высших порядков на основе определенных соответствий между двумя илоскими пучками, соответст инные прямые которых образуют произвольный постоянный угол β.

Пусть имеем даа влоских пучка* S и S_1 (рас. 1,a), соответственны, прямые которых образуют постояный угол β . Пучок S_1 ограничен плоской кривон $\varphi_1(\rho_1,\alpha)=0$, и текущая точка A является точкой нересечения кривой $\varphi_1(\rho_1,\alpha)=0$ с ι -й прямой пучка S_2 . Требуется пайти $\varphi(\rho,\alpha)=0$ —геометрическое место точек h пучка S_2 которые удалены от соответственных точек пучка S_1 на постоянную величниу a (4B=a).

Для определения положения гочки B на ι -й прямой пучка S на точки 1 радпусом и засекаем соответствующую примую пучка S. При этом отрезок SB представляет собой ряднус-вектор о кривой $\phi(\rho,\alpha)=0$.

Для аналитического определения радпуса-вектора р понизведем следующие веномогательные построения. Из центра тучка S проведём прямую SQ образующую с прямой SB угол \mathfrak{h} , \mathfrak{t} е. $SQ\|S_1A$. На точк \mathfrak{t} А проведем прямую, параллельную паправлению SS_1 по пересечения \mathfrak{t} прямыми SB и SQ соответствение в точках D и K.

Согласно рис. 1, a SB SD + DB ρ . Из $\triangle ADB$

$$(AB)^2 = (AD)^2 + (BD)^2 - 2(AD) \cdot (BD) \cos z,$$
 (1)

где

$$AB = a; \quad BD = \gamma - SD, \tag{2}$$

$$AD = c - DK, (3)$$

[&]quot; Пучки S и S_1 условно показаны посредством одной пары соответственных по-

Ha SKD

$$DK = \rho_1 \frac{\sin \beta}{\sin \beta} \,. \tag{4}$$

$$SD = g_4 \frac{\sin(a+3)}{\sin a}. \tag{5}$$

Решая (1) (5) относительно 2, получим⁶

$$y = \cos \beta + \cos \alpha + \sqrt{\alpha^2 + (\cos \alpha + y_1 \sin \beta)^2}, \tag{6}$$

где α , ϵ и β постоянные нараметры; ρ_1 —свободный и переменный радиусывектор, законном изменения которого можно нарыпровать; α полярный угол (полюе находится в центре пучка S).

Выражение (6) является полярным уравнением кривой $q(\phi,\alpha)=0$. От закона изменения ϕ_1 и постоянных параметров a,c и β зависит ин 1 воспроизводимой кривой.

Зависмость (6) можно воспроизвости механизмом, в основе которого вежит жинематическая схема, изображенная на рис. 1,6, где припяты слодующие обозначения:

$$SS_1 = c$$
; $AB = a$; $SB = s$; $SA = g_1$.

Укланный мехализм является семизвенным я обладает двуми степенями свободы, что двет возможность в качестве траектории точ ки A выбрать произвельную излекую крипую $\phi_1(n_1,\alpha) = 0$.

Механизм, ноображенный на рис. 1,6, состоит из звена I с треугольным контуром, две стороны когорого образуют угол β , оппрающийся на данный отрезок SS_1 , втулок 2 и β , вращающихся вокруг концоу (центры пучков S, S_1) данного отрезка, втулок I и I, скользящих по сторонам жесткого угла β , и стержия I, входящего во вращательные пары со втулками I и I. Таким образом, полученный механизм содержит четыре нестулательные пары, чноло которых можно сократить до двух.

Траекторией точки V является геометрическое место вершии постоянного угла β , опирающегося на далный отрезок SS_1 , т. с окружность Центр этой окружности O совпадает с вершиной равнобедренного треукольныка, построенного на отрезке SS_1 (рис 1,8), с услом между бедрами 28 При этом вершина O $\triangle SOS_1$ и гочка V будут раеполагаться отвосительно отрезка SS_1 в одну сторону, если $\beta < 90^\circ$, и в разные стороны при $\beta > 90$. Из сказанного следует, что расстояние между точками O и Λ величана постояниая, и их можно соединать жестким звеном S (посредством пар арацевия). Звено δ отностельно звена I трис, 1,6) совершает этлиптическое движение. Следовательно, в плоскости звена δ имеется слянствечная точка D (рис. 1,6), которая движется но окружноста этносительно точки Λ (звена I). Точка D бу-

В дальнейшем учтен только положительный зиак перед корнем-

дет вершиной равнобедренного треугольника ADB с углом при вершиле D, равном β . Относительно отрезка AB точки D и N располагаются водну сторону лера $\beta < 90^\circ$ и в разные стороны при $\beta > 90^\circ$

Присоединия точки D а N звеньей θ и I жестким звеном I, получим механизм (рис. 1.8) с двуми поступательными парами, состоящий из стержия I, втулки 2, входящей в вращательную пару со стойкой в точке S_1 (центр пучка S_1), втулки d, скользящей по звену I, стержней I и трехшариприото звена θ , образующего с пругыми зненьями только вращательные пары. Мехализм, изображенный на рис I, θ , также обладает двуми степенями свободы (W=21, τ , θ , точку A можно перемещать по произвольной плоской кривой q (p_1, α) =0.

Рассмотрим для частных случая изменения свободного переменното рг.

1. $\tau_1(t, z) = 0$ — прямая t = t, и периендикуляр t, опущенный с центра пучка S_t на t = t, составляет с направлением S_t угол $\tau_1(t, z)$. Из рис. 1, 2 следует, что

$$\gamma_1 = \frac{h}{\cos\left(\gamma - \alpha - 3\right)} \,. \tag{7}$$

Подставив (7) в (6), получим

$$r = \frac{h\cos 3}{\cos (1 - \alpha - 3)} + c\cos \alpha + \sqrt{a^2 - \frac{1}{1}c\sin \alpha - \frac{h\cos 3}{\cos (1 - \alpha - 3)}}$$
 (8)

или в примоугольной системе координат[»]

$$|(x^{2} + y^{2})| |x \cos(\beta - \gamma) - y \sin(\beta - \gamma) - h \cos \beta| - 2c |x \cos(\beta - \gamma) - y \sin(\beta - \gamma)| |x \cos(\beta - \gamma) - y \sin(\beta - \gamma) - h \cos \beta| = = (a^{2} - c^{2}) |x \cos(\beta - \gamma) - y \sin(\beta - \gamma)|^{2} + + 2hcy |x \cos(\beta - \gamma) - y \sin(\beta - \gamma)| - h^{2}(x^{2} + y^{2}) \cos^{2}\beta.$$
 (9)

Выражения (8) и (9), независимо от соотношения постоянных параметров а и с, являются уравнением кривой четвертого порядка.

2. $\varphi_1(z_1, z) = 0$ — окружность радиуса R.

а) Центр окружности совпадает с центром пучка S_i (рис. $1, \theta$). Подставив в (6) $S_i = R_i$, получим уравнение кривой, по которой перемещается точка B_i .

$$\rho = R\cos 3 - c\cos \alpha + \frac{1}{4} \frac{a^2 - (c\sin \alpha - R\sin \beta)^2}{(x^2 + y^2) [x^2 - y^2 + R^2 - c^2 - a^2 - 2cx]^2} =$$

$$= 4R^2 \left[c \left(y\sin 3 - x\cos \beta \right) + (x^2 + y^2)\cos \beta \right]^2.$$
(11)

Здесь и далее уравнения носиромляюдимых криных даны как и полярной, так и в примоугольной системах координы;

Выражение (10) или (11), независимо от соотношения а и с. мынется уравнением кривой шестого порядка.

б) Окружность (траекторня точки А) проходят через точку S_t и се центр находится на врямой $t \to t$, проходящей через центр нучка S_t под углом γ к SS_t (рис. 1, e).

Пз $△S_1OA$ имеем

$$g_1 = 2R\cos\left(\gamma - 3 - z\right),\tag{12}$$

Подставив (12) в (6), получим:

$$\frac{1}{2} 2R \cos \left(\frac{\pi}{4} - 3\right) \cos 3 + c \cos 4 + \frac{1}{4} \frac{1}{4} \frac{1}{4} \left[c \sin 4 - 2R \cos \left(\frac{\pi}{4} - 3\right) \sin 5\right]; \tag{13}$$

$$x^{2} + y^{2} (x^{2} + y^{2} + 2cx + a^{2} + c^{2}) + 4R^{2} [x \cos(\gamma - 3) + y \sin(\gamma - 3)]^{2} + 4Rc [x \cos(\gamma - 3) + y \sin(\gamma - 3)] (x \cos 3 + y \sin 3) = 0.$$
 (14)

Выряжение (13) или (14), независимо от соотношения а и с, является уравнением кривой четвертога порядка

в) Если же центр окружности радиуса R не находится в точке S и эта окружность не проходит через центр пучка S_1 (рыс. 2. a1, a2).

$$y_1 = k \cos(\gamma - 3 - x) + 1 R^2 - k^2 \sin^2(\gamma - 3 - x)$$
, (15)

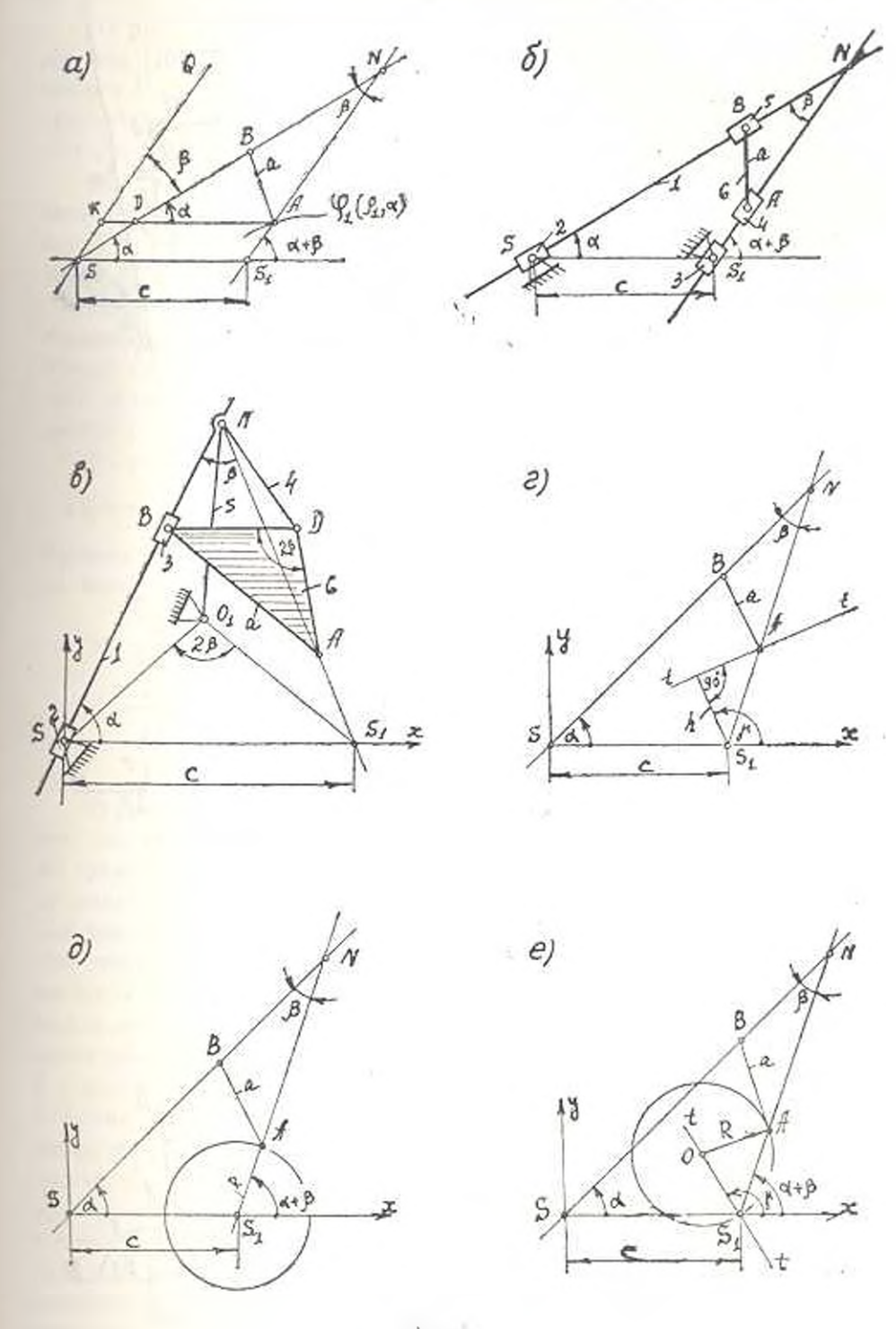
и уравление (б) примет вид:

$$k\cos 3 \cdot \cos \left(\gamma - 3 - \alpha\right) + \cos^{2}\left(\frac{1}{2} - k^{2}\sin^{2}\left(\gamma - 3 - \alpha\right) + c\cos^{2}\left(\gamma - 3 - \alpha\right) + c\sin^{2}\left(\gamma - 3 - \alpha\right) + c\cos^{2}\left(\gamma - \alpha\right) + c\cos$$

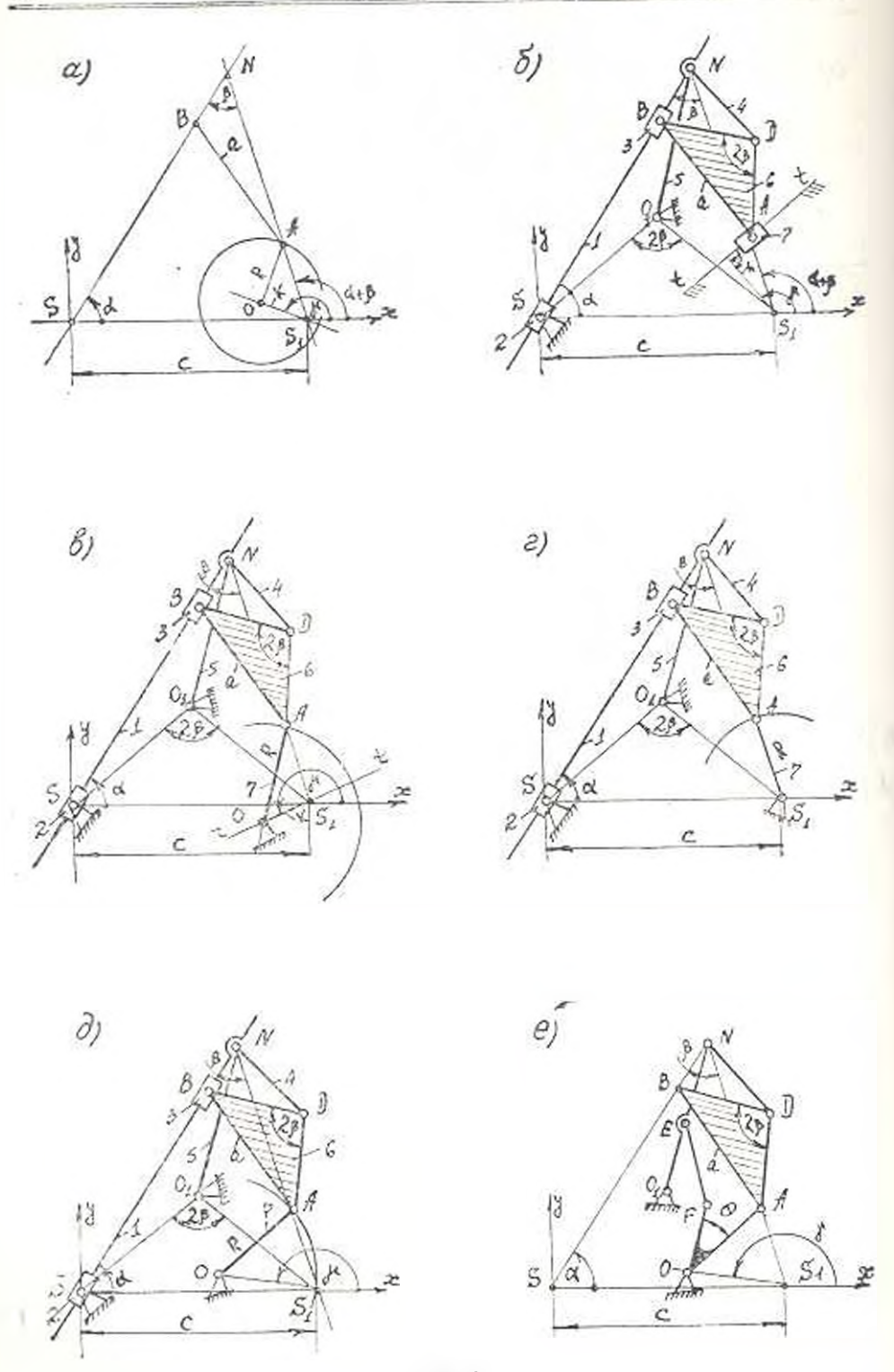
Выражение (16) или (17) является уравнением кривой восьмого порядка.

Для синтеза механизмов, воспроизводящих кравые (8), (10), (13) и (16), воспользуемая схемой, изображенной на рис. 1,в.

На рис. 2,0 показан механизм для образования кривой четвертого порядка (8), который представляет собой кулисный восьмиззенный механизм, состоящий из подвижных звеньей $I;\ 2;\ 3;\ 1;\ 5;\ 6$ и 7 и стойки. Звено 7 движется прямолинейно по направляющим t-t. Перпендакуляр h, опущенный из центра пучка S_1 на t-t составляет с направлением SS_1 угол γ . Точка B ползуна B воспроизводит кривую (8), т. с. изображенный на рис. 2,6 механизм является материализацией геомстрической схемы, изображенной на рис. 1, ϵ .



Pac. I.



ряс. 2.

На рис. 2,6 изображен маханизм для образования кривой восьмого порядка (16). Механизм является кулисным и состоит из подвижных звеньев 1; 2; 3, 4, 5, 6, 7 и стойки. Звено 7 пращается вокруг точки O, принадлежащей прямой t — t, проходящей через центр пучка S_1 под услом у к SS_1 . Точка B позуча B воспроизнодит кривую (16).

Для образования кривой шестого норядка (10) механьам должен быть перестроен так, как это покадано на рис 2x неподвижный шарнир 0 совмещен с центром пучка S_1 При вращении звена 7 вокру, точки $S_1(0)$ течка B подзуна β воспроизводит крицую (10)

Для образования кривой четвертого порядка (13) механизм перестранвается так, как это показано на рис 2,0 Пентр О расположен на прямой 1—1 на расстояния k=R от пентра пучка S_1 . Если нево 7 при пиль вокруг точки O_2 то точка B ползуна 3 бу ter перемещаться ни кривой (13).

На рисупках 2, в. в. в. в приняты следующие оболавления.

$$SS_1 = c;$$
 $AB = a;$ $S_1A = R;$ $OS_1 = k;$ $(SAS_1 = \beta;$ $ASS_1 = \alpha;$

Размеры остальных нестьев производные величины и подечитываются по формулам:

$$SO_1 = S_1O_1 - NO_1 = \frac{c}{2\sin\beta}$$
; $BD - AD - ND = \frac{c}{2\sin\beta}$; $OO_1 = \sqrt{\left(\frac{c}{2\sin\beta}\right)^2 - k^2 - \frac{kc}{\sin\beta}}$ in (3).

Кулисно-рычажный восьмираемный механизм, прображенный на рис. 2,д, возможно заменить шестизгенным механизмом телько парами вращения [2]. Можно показать, что передаточное отношение между звеньями 5 и 1, 7 и 1 разно двум (рис. 2,г). Ввено 1 имеет треуголияын контур с жестким утлом в (см. рис. 1.5), олирающийся на тап ный отрезок 251, а звено 5 яаляется раднусом окружности, но которой движется вершина А угла В. Следовательно, передаточное отношени. между звеньями 5 и / равно двум (151-21. Конечная точка .1 эвена 7 📗 своем движении по окружности всегда находится на стороне VS, угля в и проходят через S, следовательно, передаточное отношение между зисныями 7 и 1 также равно двум 11:1-21. Поэтому передаточное отношение между знецьями 5 и 7 равно единице (і- 1). Следовательно, в плоскости звена 5 или 7 всегда можно взять прямую, параллеллыную другому знену, и посредством слемы парадлелограмма обеспечат спихронность движения этих эвепьев. Тогда, не наруших первопачального анижения остальных звеньев, можно удалить ползуны 2: 3 и эвоно 7 г. получить писстизненный механизм только с вращательными кинематическими парами (рис. 2,с). Угол между звеньями Олу и Ол -д FOл-=Q=90° у+В. Шатув ВДА полученного механизма совершает то ж. движение, что и в исходном механизме (рис. 2,д)



Полученый нами шест ізвенный шариарный мехацізм может быть преобразован в шарнирный четырехзвенник на основе теоремы, изложенной в молографии [3].

Механизмы, опитеопруемые предложениям методом, могут быть применены при решении инженерных задач, связачных с обработкой изделия задачного профиля или с перемещением точек исполнительных органов машин по заданным траекториям и т. п.

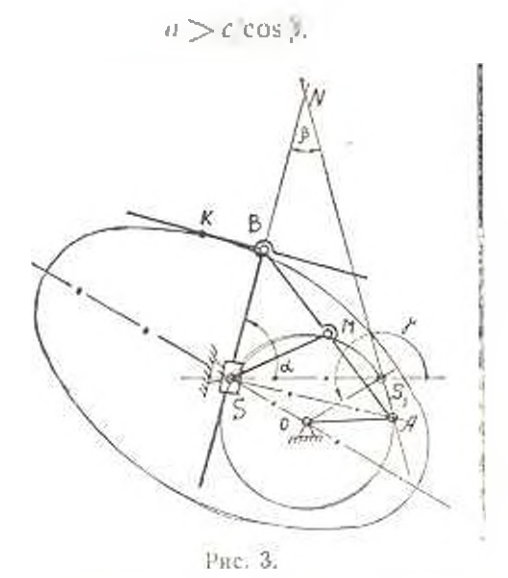
Для иллюстрации сказанного рассмотрим пример спитеза механизма для огибания эллинса. Пивестно, что подошвенная кривая эллинса является подерой эллинса с полюсом в его центре. Если в уравнения (13) принять

$$\gamma = 180^{\circ} - 3; \qquad 2R = c/\cos 3,$$
 (18)

то получим

$$y = 1 \quad a^{\alpha} - c^{\alpha} (\sin \alpha - \cos \alpha + \lg \beta)^{\alpha}. \tag{19}$$

Выражение (19) является уравнением подошвенной кравой эдлинса при



Пра выполнении условий (18) и $a>c/\cos\beta$ шатунная точка B механизма, изображенного на ряс. 2,c, вогиронаводит подошвенную кривую эллипса. Поэтому периевдикуляр, восстановленный к раднусу-вектору SB подошвенной кривой в точке B, будет всегда касателен к эллипсу с дентром в точке S, имсющему большую ось 2a и межфокусное расстояние $2c/\cos\beta$.

Ha puc. 3 (rate
$$OA = OS = \frac{\sigma}{2\cos\theta}$$
: $MS = MA = MB = \frac{\sigma}{2}$:

BSA 90) изображен механизм для воспроизведения эллипса методом огнблиня, который построен на основе механизма. изображен-

ного на рис. 2,е, после преобразовання его в шариприый четырехляенник. Полученный механизм компактен по градисиню е одноименными существующими механизмами и имеет возможно минимальную теоретическую дляму режущего инструмента реечного типа

$$L = 2(BK)_{\text{atray}} = 2\left[a - \sqrt{a^2 - \left(\frac{c}{\cos 3}\right)^2}\right]$$

ЕрГУ

Hoeryman 17 HL1977

Կ. Ե. ՇԱՀԲԱԶՅԱՆ, Գ. Ա. ՋԱՂԱՑՊԱՆՅԱՆ, Գ. Ո. ԽՈՒԳՈՅԱՆ

ՄԵԽԱՆԻԶՍՆԵՐԻ ՍԻՆՔԵԶՈՒՄԸ ՓՆՋԵՐԻ ՄԻՋԵՎ ՈՐՈՇԱԿԻ ՀԱՄԱՊԱՏԱՍԽԱՆՈՒԹՅԱՆ ՀԻՄԱՆ ՎՐԱ, ԵՐԲ ՓՆՋԵՐԻ ՀԱՄԱՊԱՏԱՍԽԱՆ ՈՒՂԻՆԵՐԸ ԿԱԶՄՈՒՄ ԵՆ ՀԱՍՏԱՏՈՒՆ ԱՆԿԵՈՒՆ

Undernhand

_ողվածում տուաջարկվում է մեքքող, որի միջոցով Հնարավոր է նախագծել թարձր կարդի Հարք կորեր վերարտացրող մեխանիդմներ։ Ընդ որում մի մեխանիզմից մյուսին անցնելը կատարվում է պարզ վերալարման միջոցով։

ЛИТЕРАТУРА

- Шахбалня К. Х., Джасадпання Д. З. К синтем механизмов на основе определенных соответствий между сучками прямых. «Изп. АН АрмССР. Механика», том XXVI, № 6, 1973.
- 2. Шахбалян К. Х. 10 на 2. .1. Об одном методе замены по тупательных пар вращательными в некоторых кулигно-рыми жимх механизмах. «Изв. A^{11} АрмССР Серия технических чаук», гом XXVI, N_2 3, 1973.
- Блох З. Ш. Приближен или синте: механизмов Мащина, М., 1948.